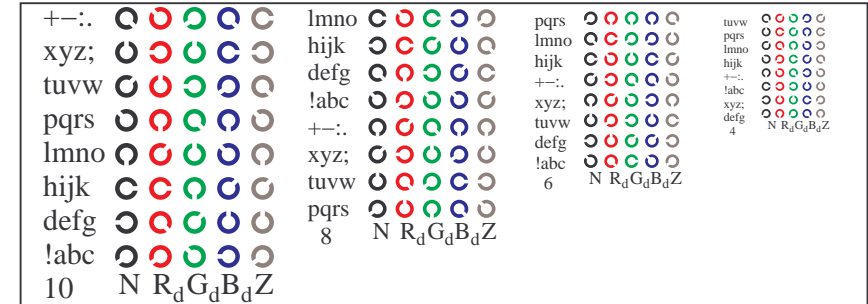
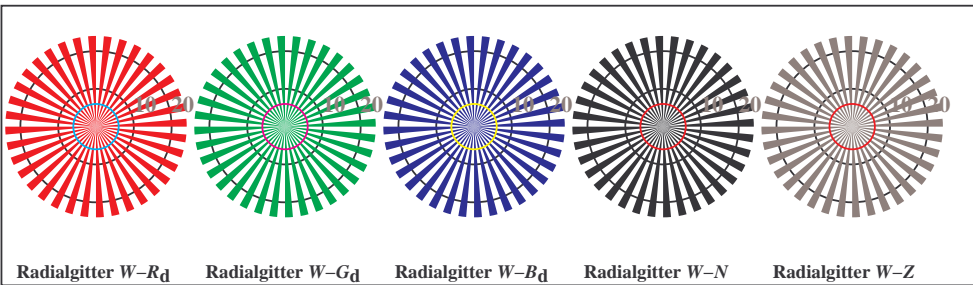


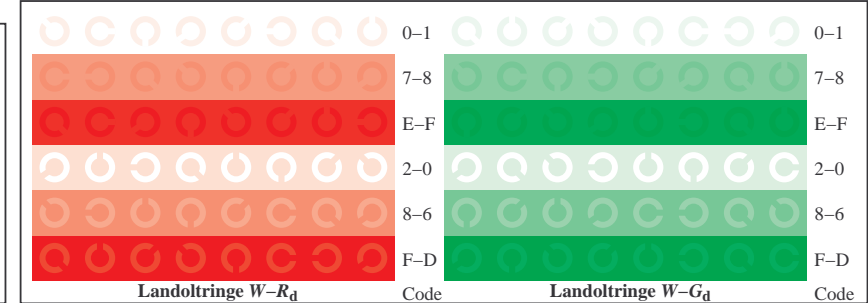
TG881-1, Bild D4Wd: 16 gleichabständige Stufen $W-R_d$; $W-G_d$; $W-B_d$; $W-N$; $rgb/cmy0 \rightarrow rgb_d$ setrgbcolor



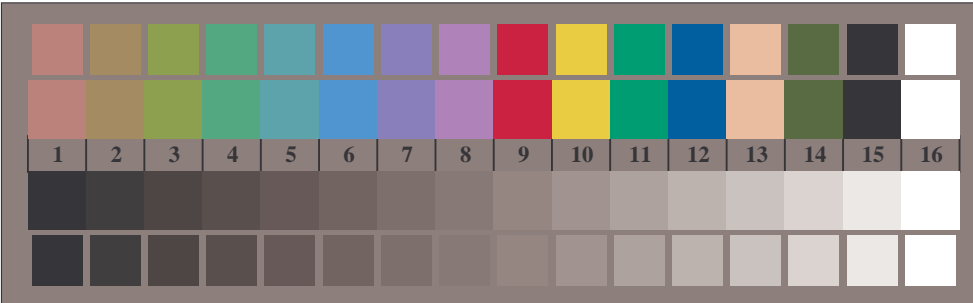
TG881-3, Bild D5Wd: Schrift und Landoltringe N ; R_d ; G_d ; B_d ; Z ; PS -Operator: $rgb \rightarrow rgb_d$ setrgbcolor



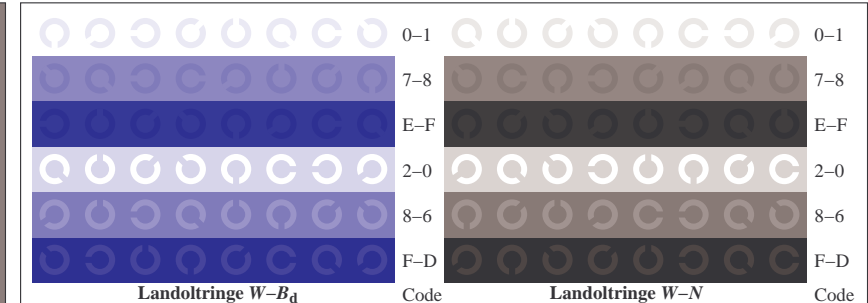
TG880-5, Bild D2Wd: Radialgitter $W-R_d$; $W-G_d$; $W-B_d$; $W-N$; PS -Operator: $rgb \rightarrow rgb_d$ setrgbcolor



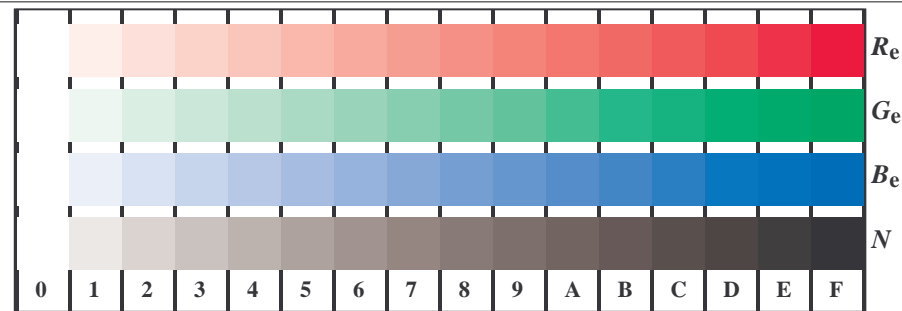
TG881-5, Bild D6Wd: Landoltringe $W-R_d$; $W-G_d$; PS -Operator: $rgb \rightarrow rgb_d$ setrgbcolor



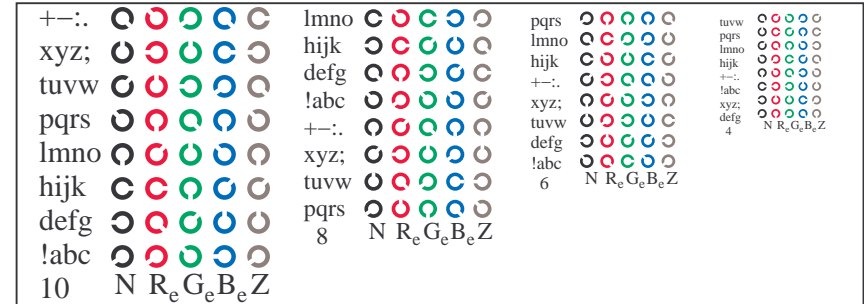
TG880-7, Bild D3Wd: 14 CIE-Prüffarben sowie 2 + 16 Graustufen (sf); PS -Operator: $rgb/cmy0 \rightarrow rgb_d$ setrgbcolor



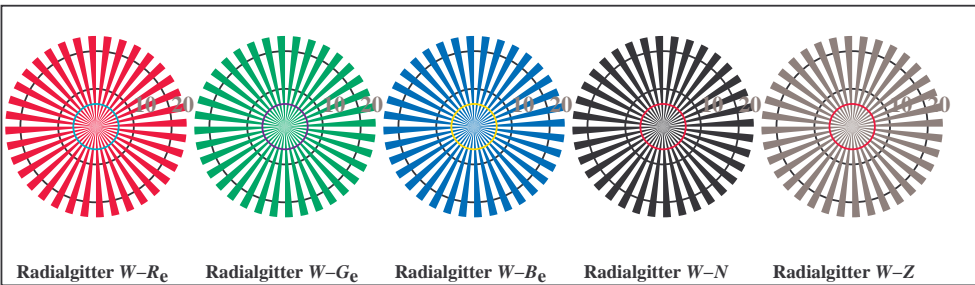
TG881-7, Bild D7Wd: Landoltringe $W-B_d$; $W-N$; PS -Operator: $rgb \rightarrow rgb_d$ setrgbcolor



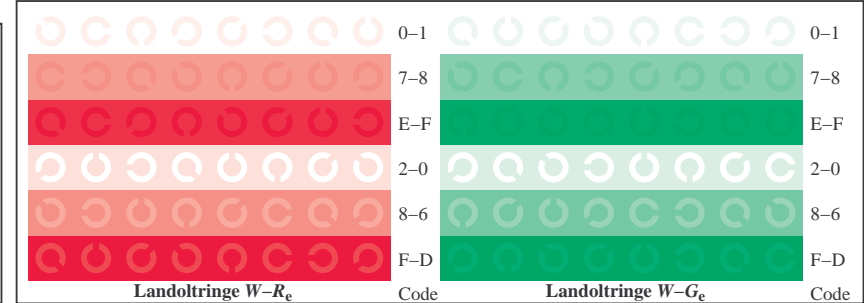
TG881-1, Bild D4We: 16 gleichabständige Stufen $W-R_e$; $W-G_e$; $W-B_e$; $W-N$; $rgb/cmy0 \rightarrow rgb_e$ setrgbcolor



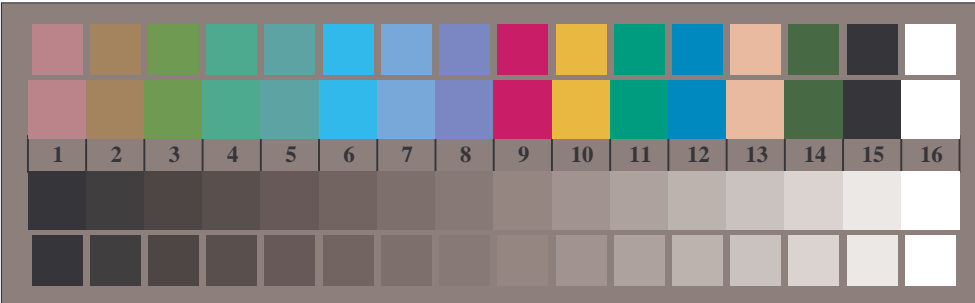
TG881-3, Bild D5We: Schrift und Landoltringe N ; R_e ; G_e ; B_e ; Z ; PS -Operator: $rgb \rightarrow rgb_e$ setrgbcolor



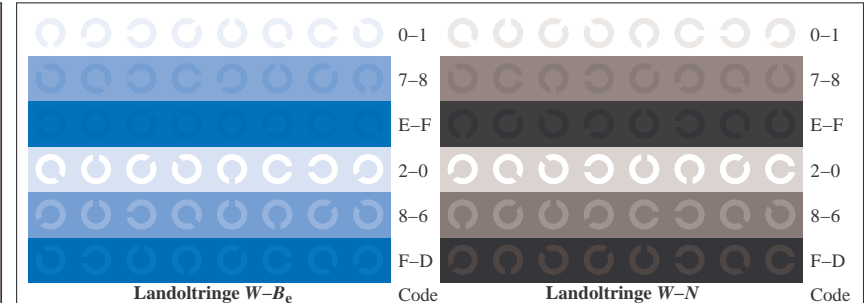
TG880-5, Bild D2We: Radialgitter $W-R_e$; $W-G_e$; $W-B_e$; $W-N$; PS -Operator: $rgb \rightarrow rgb_e$ setrgbcolor



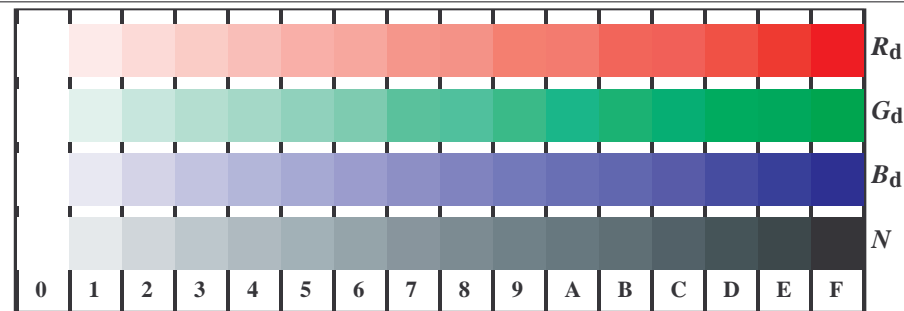
TG881-5, Bild D6We: Landoltringe $W-R_e$; $W-G_e$; PS -Operator: $rgb \rightarrow rgb_e$ setrgbcolor



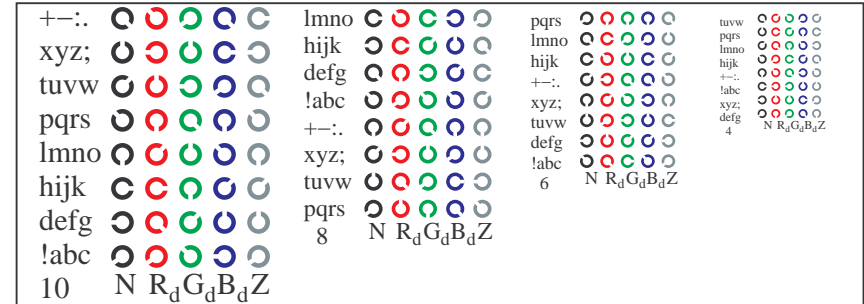
TG880-7, Bild D3We: 14 CIE-Prüffarben sowie 2 + 16 Graustufen (sf); PS -Operator: $rgb/cmy0 \rightarrow rgb_e$ setrgbcolor



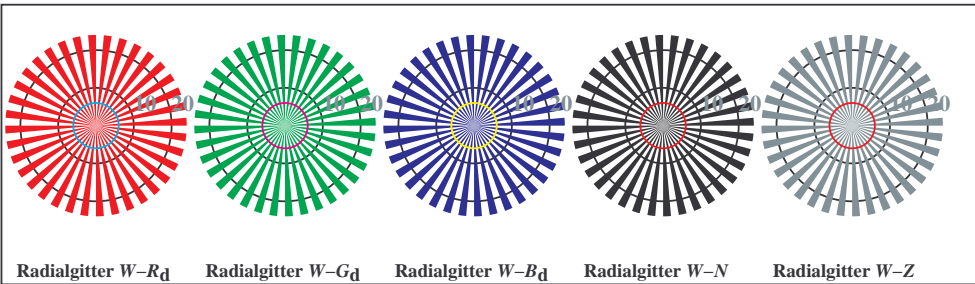
TG881-7, Bild D7We: Landoltringe $W-B_e$; $W-N$; PS -Operator: $rgb \rightarrow rgb_e$ setrgbcolor



TG881-1, Bild D4Wdd: 16 gleichabständige Stufen $W-R_d$; $W-G_d$; $W-B_d$; $W-N$; $rgb/cmy_0 \rightarrow rgbd_{dd}$ setrgbcolor



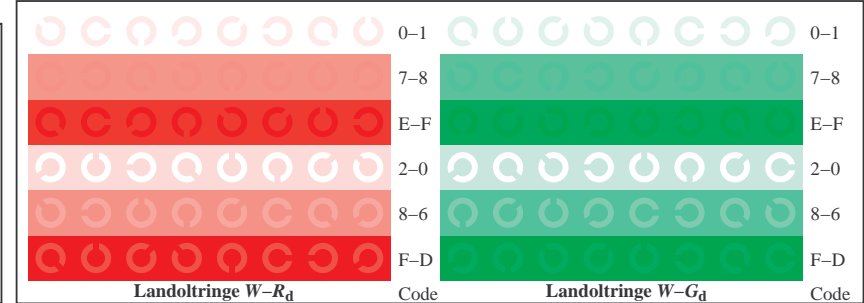
TG881-3, Bild D5Wdd: Schrift und Landoltringe N ; R_d ; G_d ; B_d ; Z ; PS-Operator: $rgb \rightarrow rgbd_{dd}$ setrgbcolor



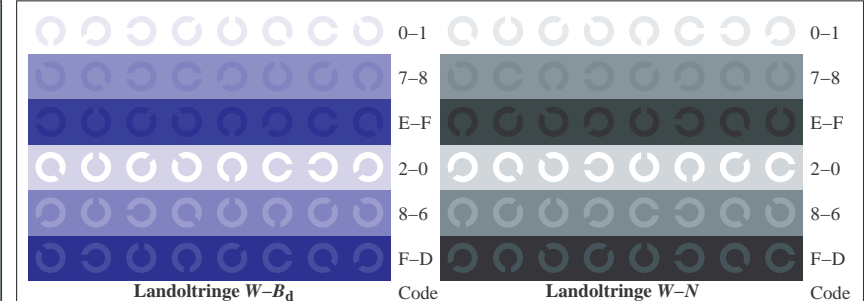
TG880-5, Bild D2Wdd: Radialgitter $W-R_d$; $W-G_d$; $W-B_d$; $W-N$; PS-Operator: $rgb \rightarrow rgbd_{dd}$ setrgbcolor



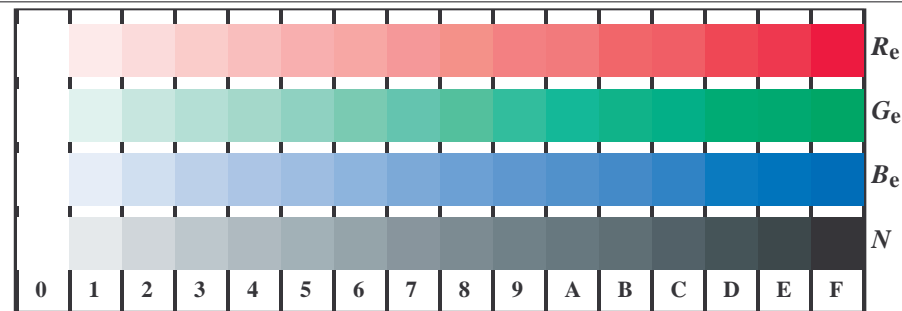
TG880-7, Bild D3Wdd: 14 CIE-Prüffarben sowie 2 + 16 Graustufen (sf); PS-Operator: $rgb/cmy_0 \rightarrow rgbd_{dd}$ setrgbcolor



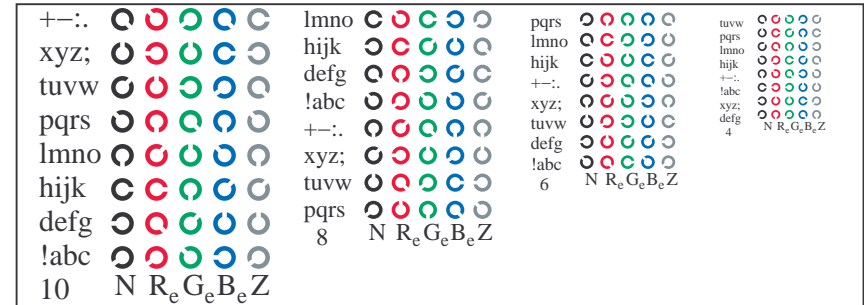
TG881-5, Bild D6Wdd: Landoltringe $W-R_d$; $W-G_d$; PS-Operator: $rgb \rightarrow rgbd_{dd}$ setrgbcolor



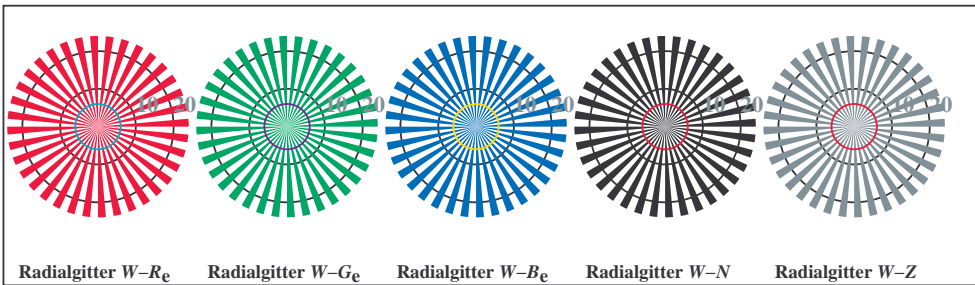
TG881-7, Bild D7Wdd: Landoltringe $W-B_d$; $W-N$; PS-Operator: $rgb \rightarrow rgbd_{dd}$ setrgbcolor



TG881-1, Bild D4Wde: 16 gleichabständige Stufen $W-R_e$; $W-G_e$; $W-B_e$; $W-N$; $rgb/cmy0 \rightarrow rgb_{de}$ setrgbcolor



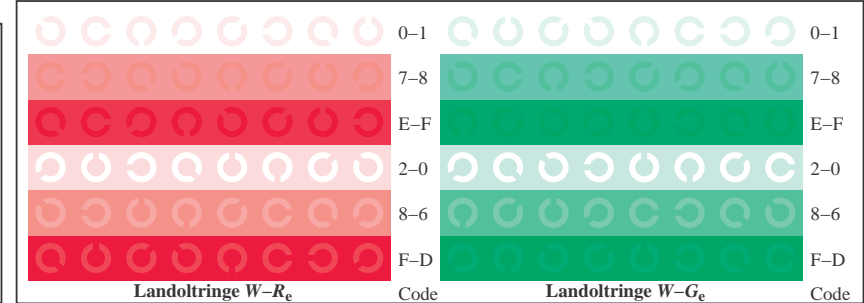
TG881-3, Bild D5Wde: Schrift und Landoltringe N ; R_e ; G_e ; B_e ; Z ; PS-Operator: $rgb \rightarrow rgb_{de}$ setrgbcolor



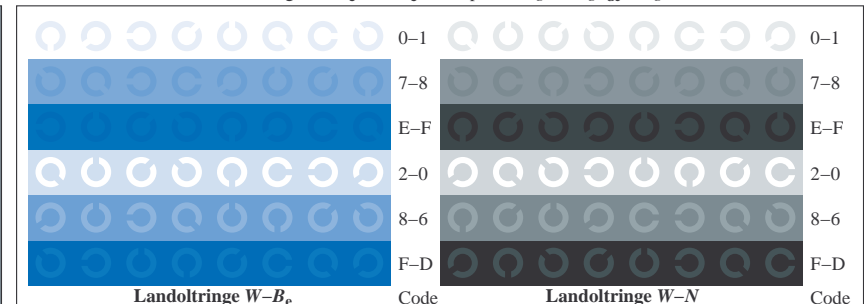
TG880-5, Bild D2Wde: Radialgitter $W-R_e$; $W-G_e$; $W-B_e$; $W-N$; PS-Operator: $rgb \rightarrow rgb_{de}$ setrgbcolor



TG880-7, Bild D3Wde: 14 CIE-Prüffarben sowie 2 + 16 Graustufen (sf); PS-Operator: $rgb/cmy0 \rightarrow rgb_{de}$ setrgbcolor



TG881-5, Bild D6Wde: Landoltringe $W-R_e$; $W-G_e$; PS-Operator: $rgb \rightarrow rgb_{de}$ setrgbcolor



TG881-7, Bild D7Wde: Landoltringe $W-B_e$; $W-N$; PS-Operator: $rgb \rightarrow rgb_{de}$ setrgbcolor